Aspetti geomorfologici del Monte Baldo: i processi di trasformazione del paesaggio



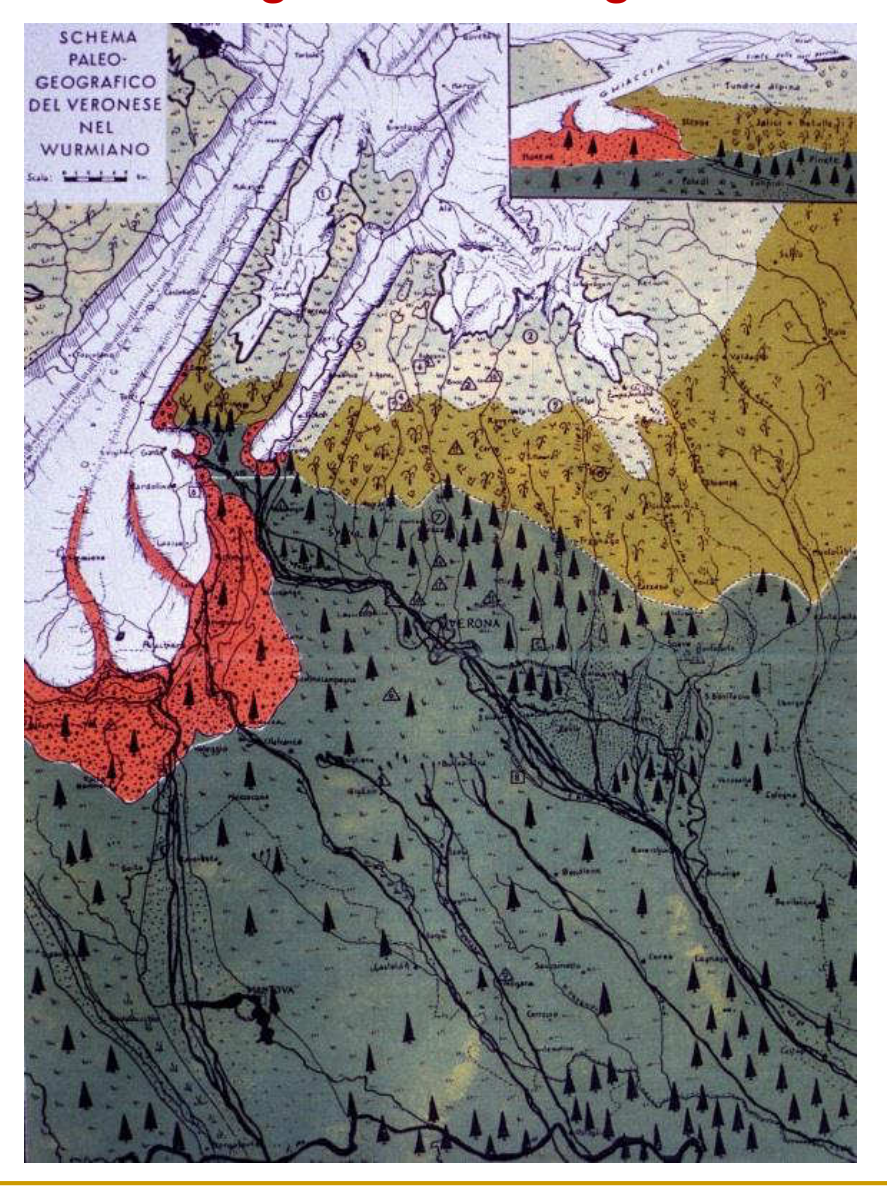
ANALISI GEOMORFOLOGICA DEL PAESAGGIO

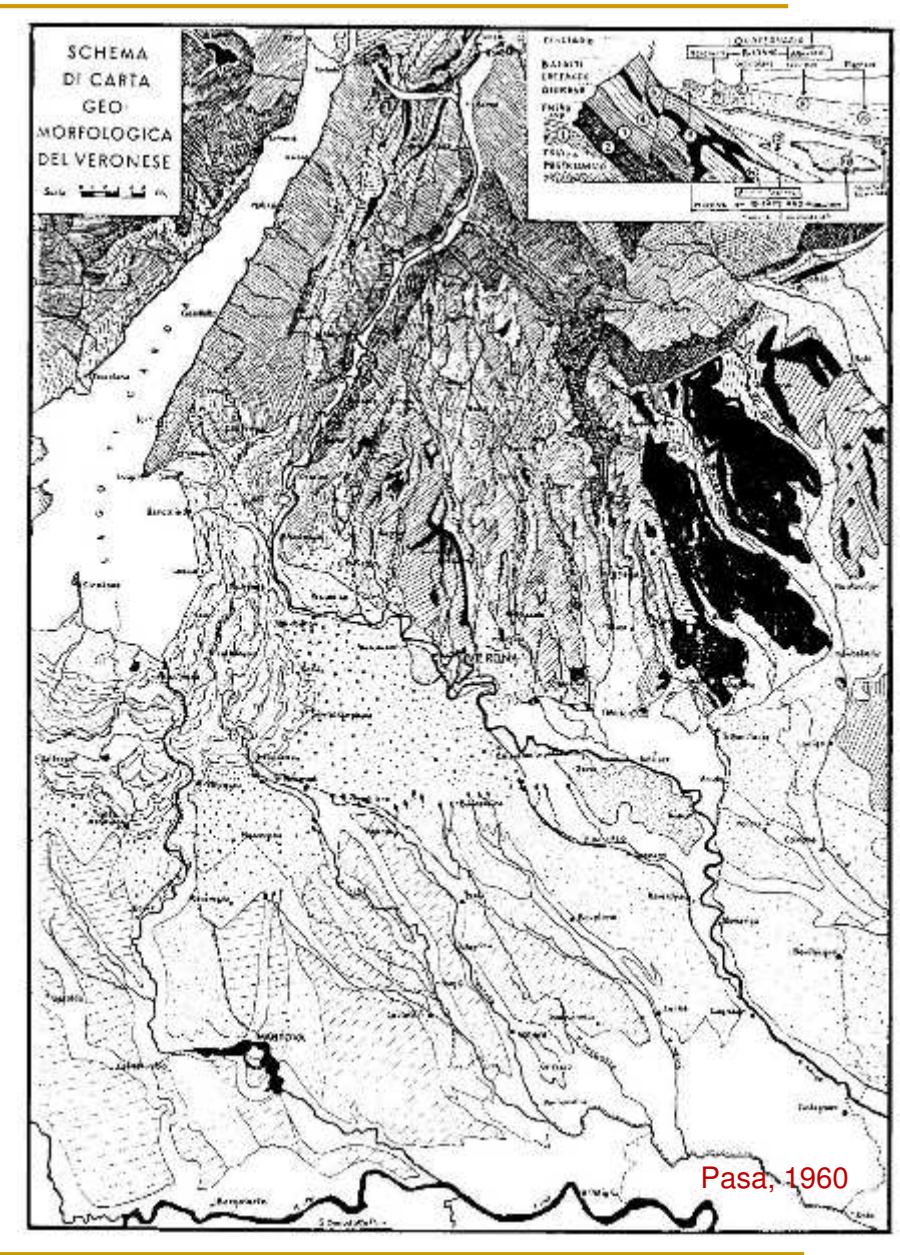
Il rilievo terrestre risulta dalla combinazione di vari processi geomorfologici

- Forme strutturali
- Fenomeni gravitativi
- Fenomeni glaciali e f-g
- Fenomeni periglaciali
- Fenomeni fluviali
- Fenomeni carsici



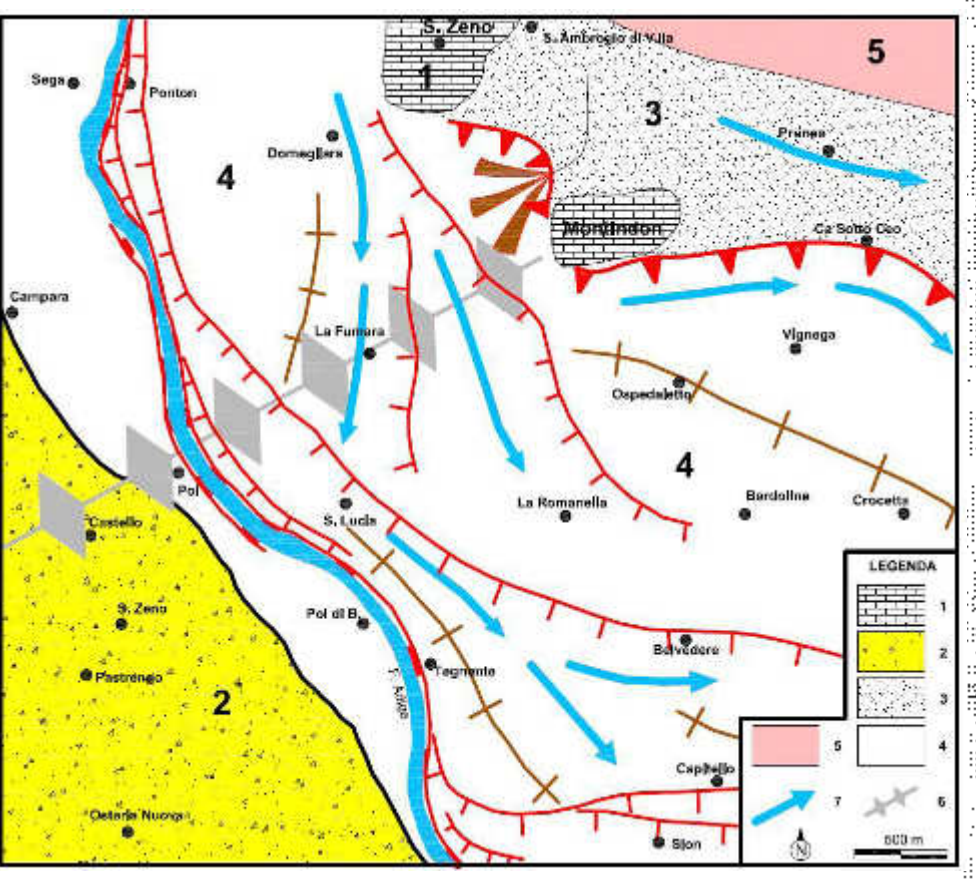
Fenomeni glaciali e fluvioglaciali

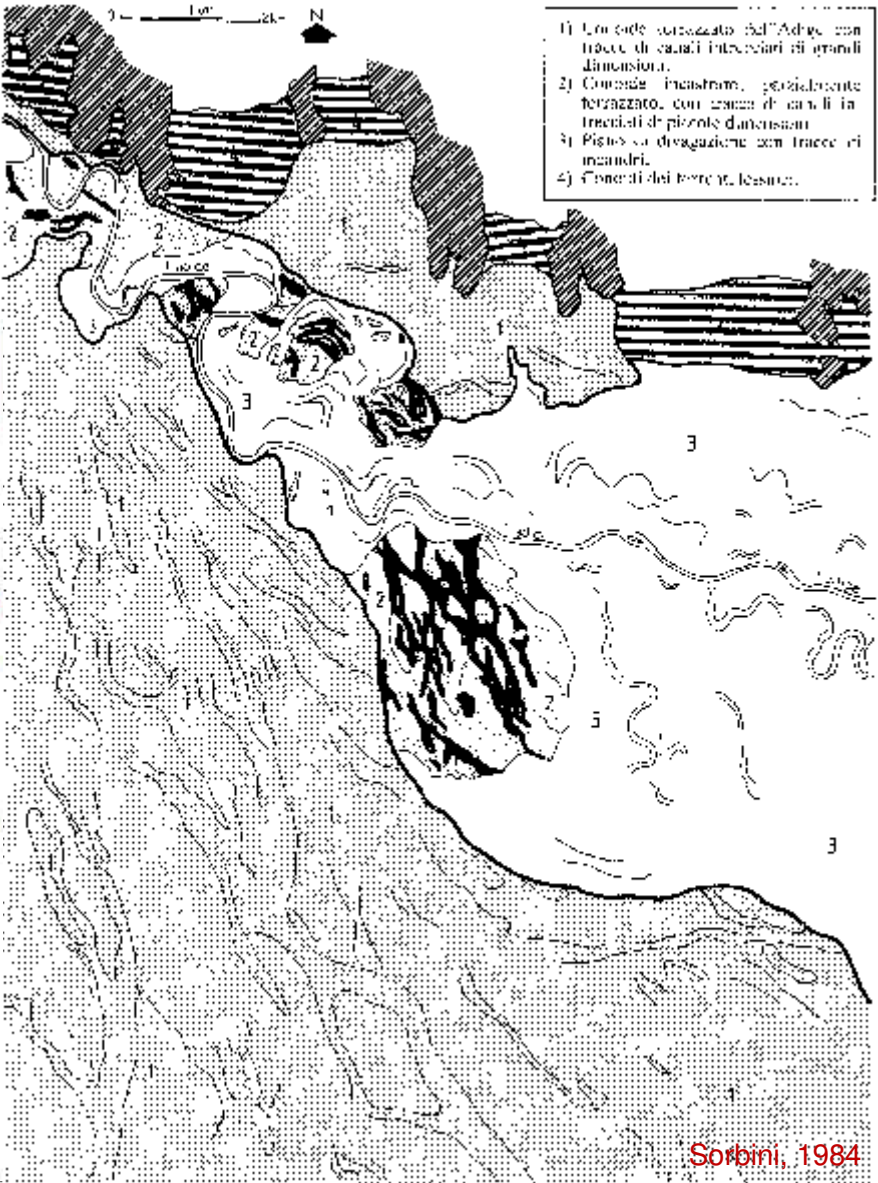




www.geologiaveronese.it

Aspetti fluvioglaciali della pianura veronese





www.geologiaveronese.it Relatore: Geol. Enrico Castellaccio

4



Le fasi glaciali quaternarie:

Wurm: 18.000 – 70.000 a BP

Riss: 120.000 – 190.000 a BP

Mindel: 250.000 – 480.000 a BP

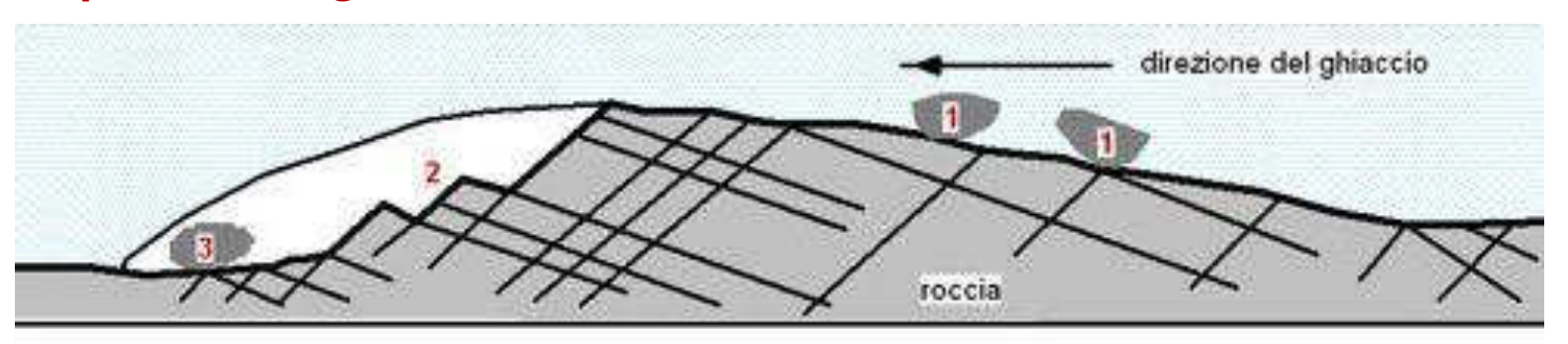
Gunz: 840.000 – 1.180.000 a BP

Donau: 1.7 Ma – 1.8 Ma BP



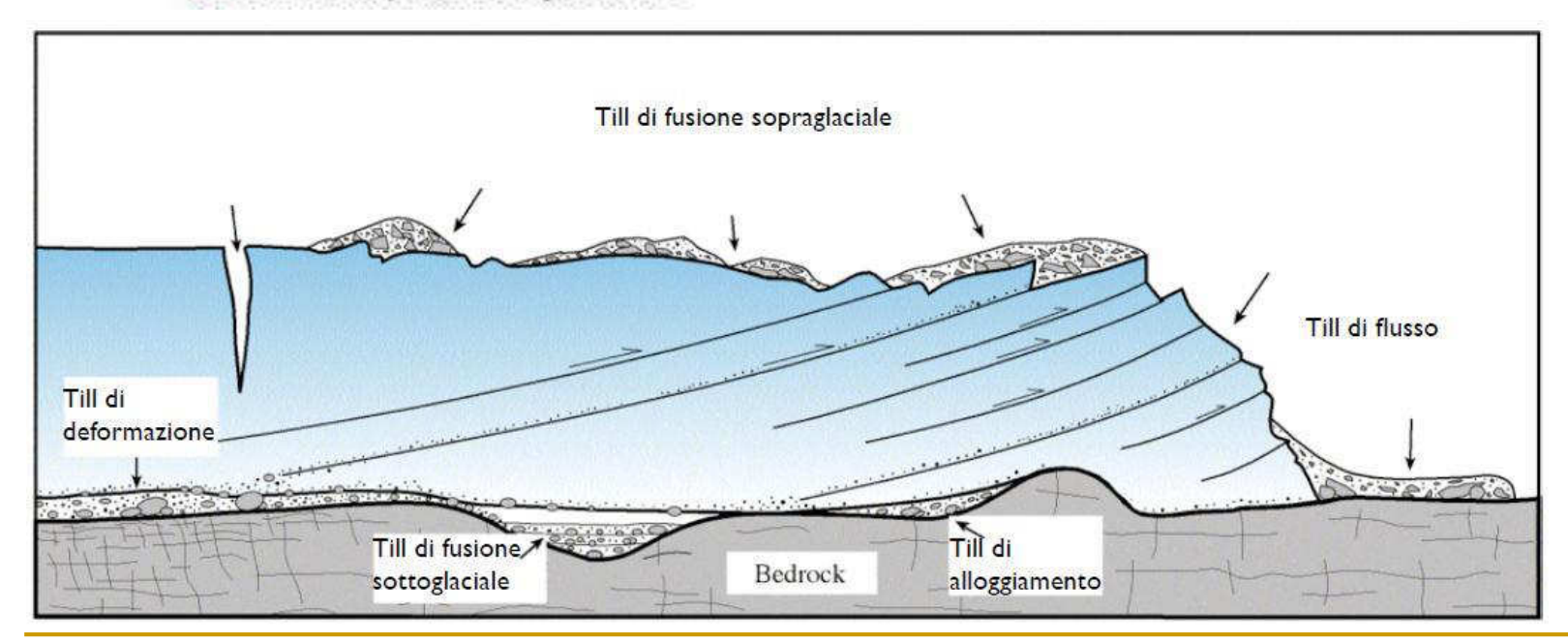
Carta Geologica d'Italia F. 48°

Aspetti morfogenetici

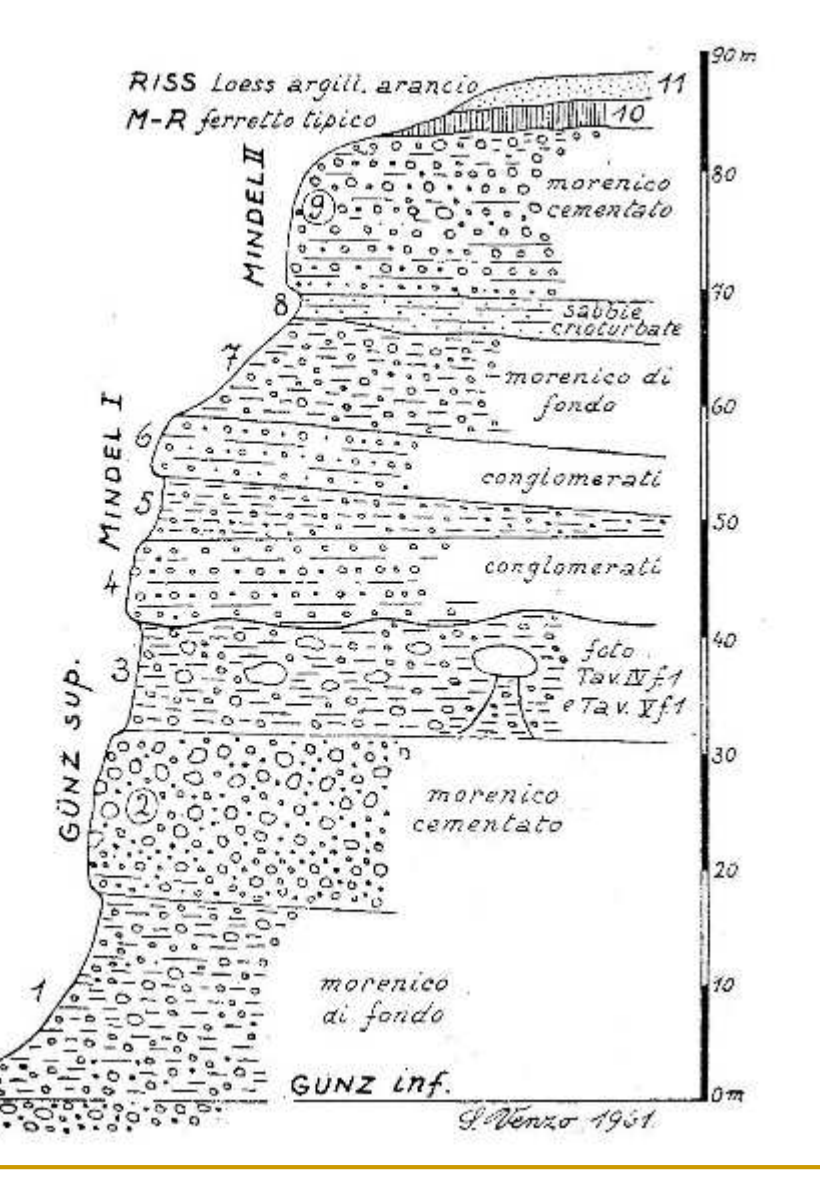


Modellamento di rocce montonate per effetto di processi di abrasione sul lato a monte

- 1. Blocchi sospinti dal ghiaccio contro la roccia, che ne provocano la raschiatura:
- 2. Cavit lasciata libera dal ghiaccio.
- 3. Ciottolo espulso dal ghiaccio.



Le sequenze glaciali e fluvioglaciali

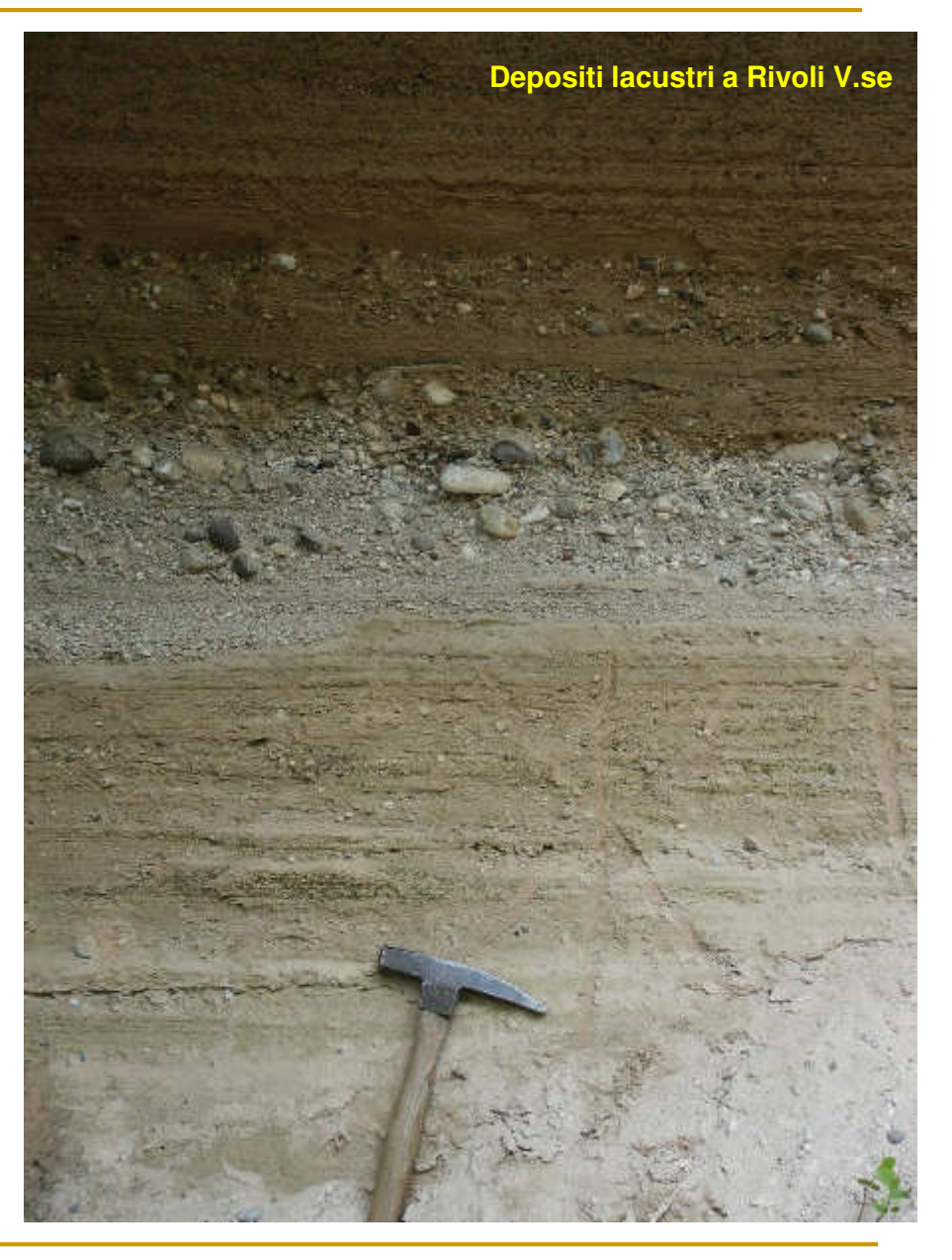


torrente





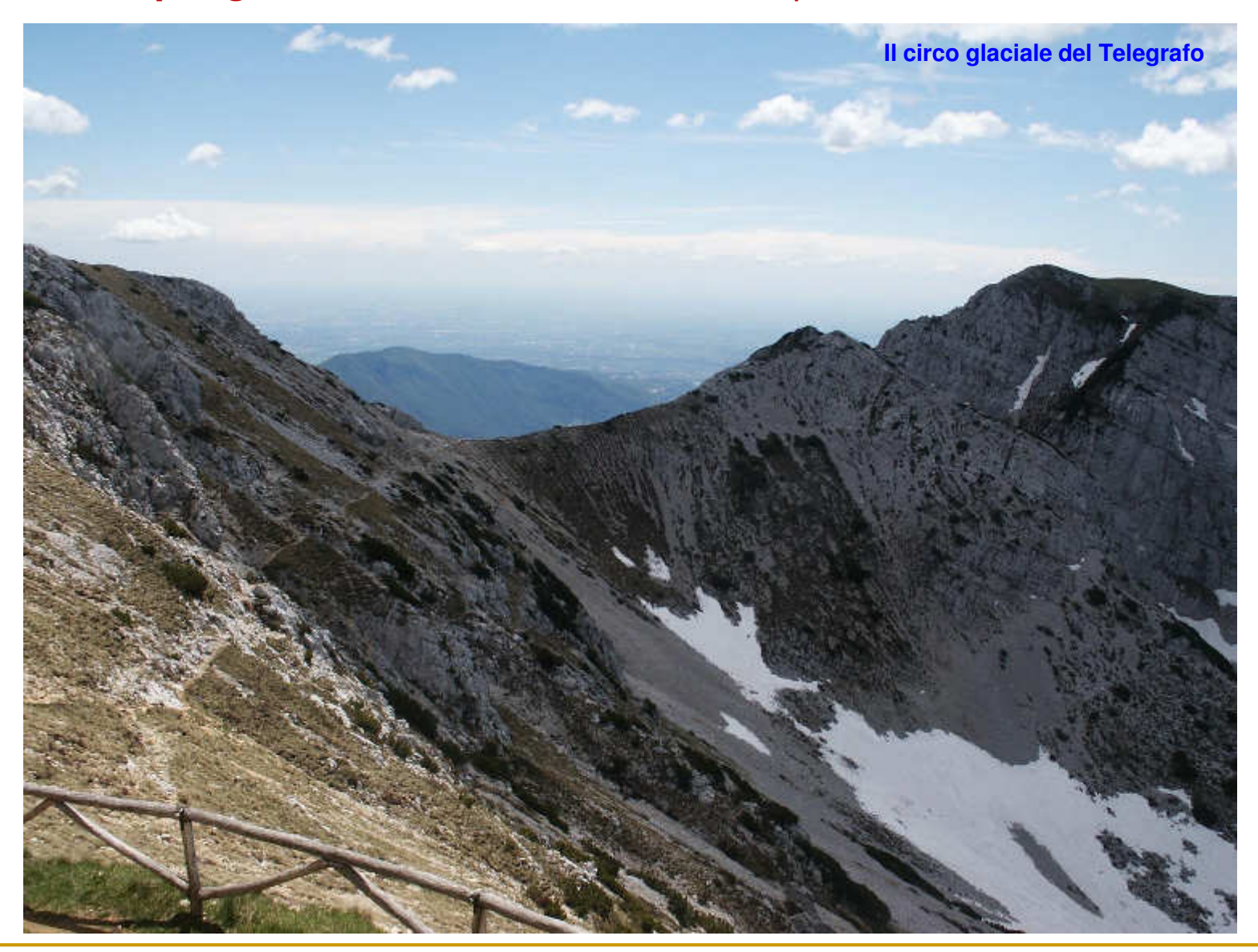




www.geologiaveronese.it

Relatore: Geol. Enrico Castellaccio

Fenomeni periglaciali: il termoclastismo d'alta quota



Fenomeni periglaciali:

- il termoclastismo d'alta quota
- argini detritici di nevaio



www.geologiaveronese.it

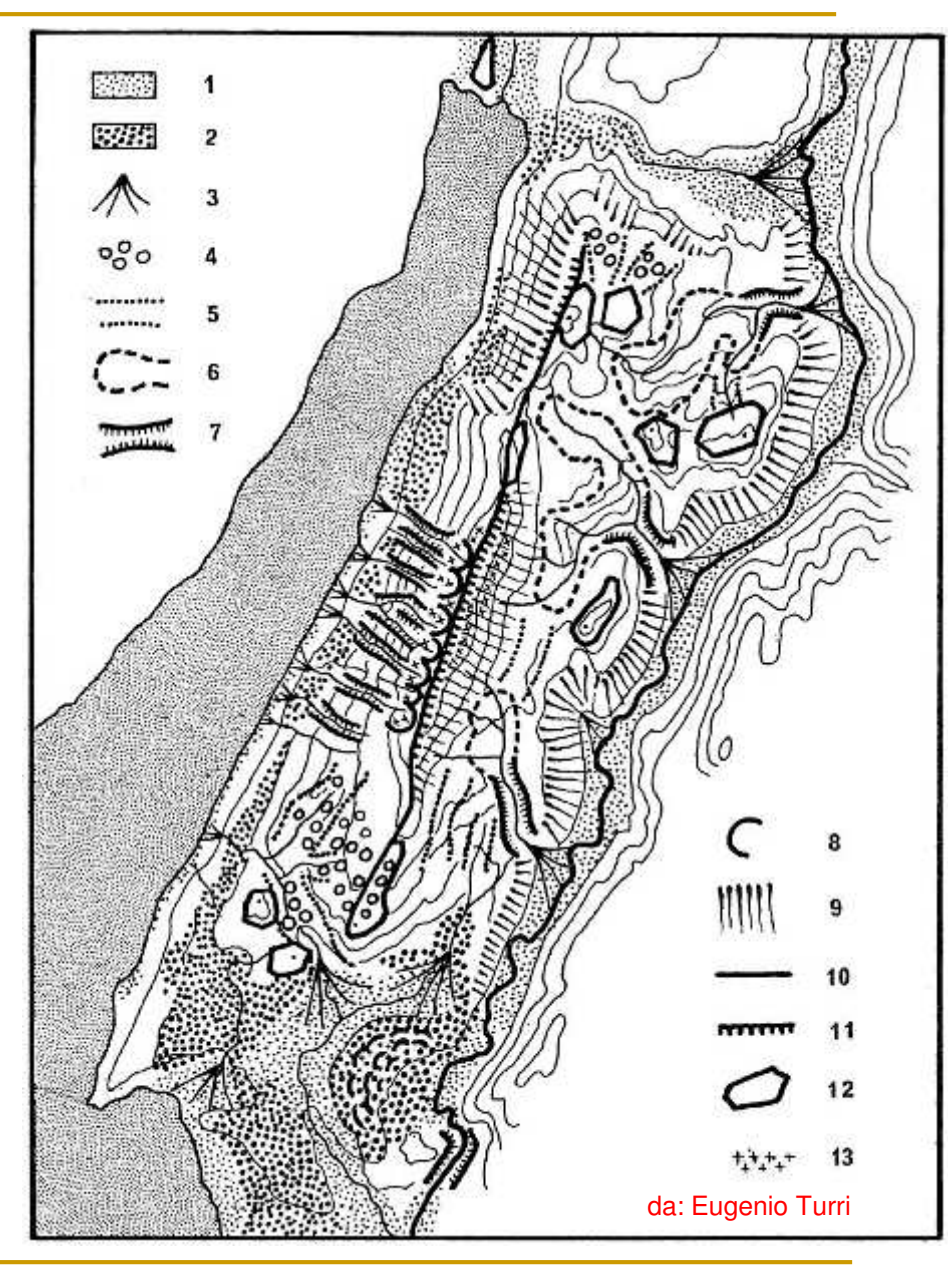
Relatore: Geol. Enrico Castellaccio

I circhi glaciali delle creste del Baldo

Fenomeni fluviali



La valle di Loppio con la presenza del lago stagionale

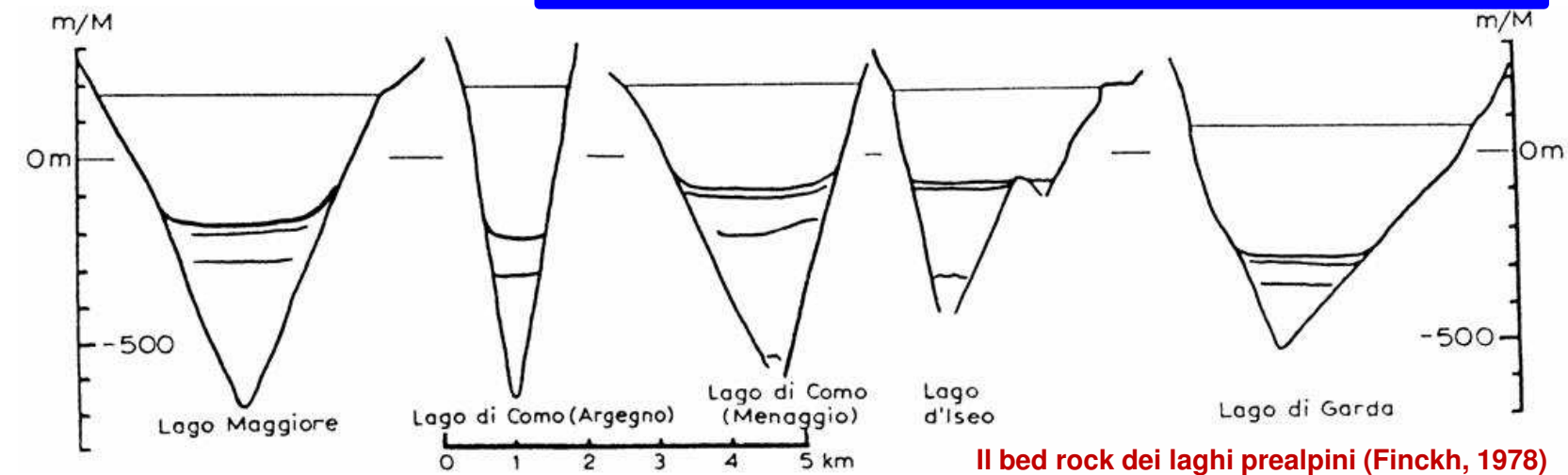


www.geologiaveronese.it

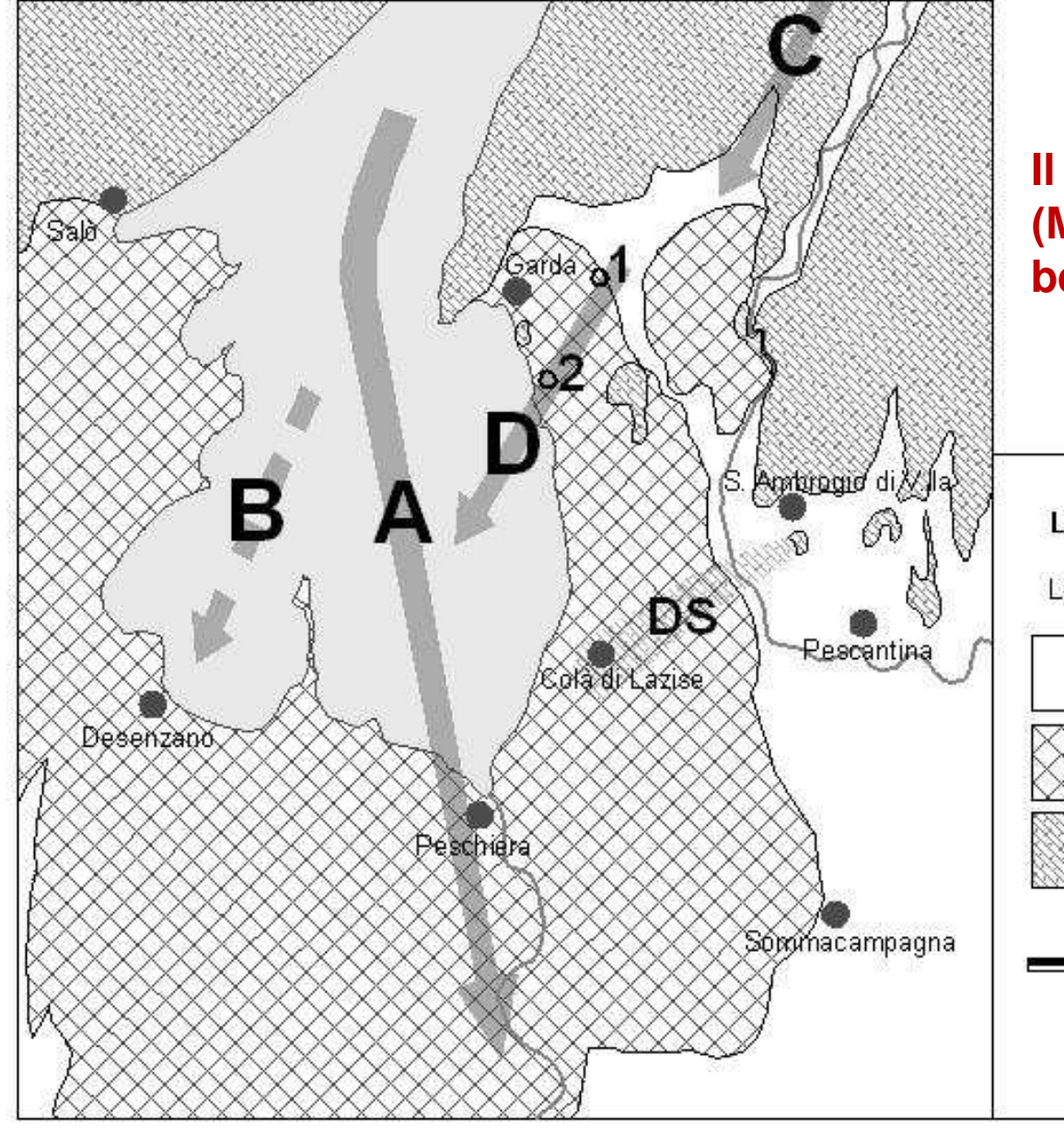
Fenomeni fluviali



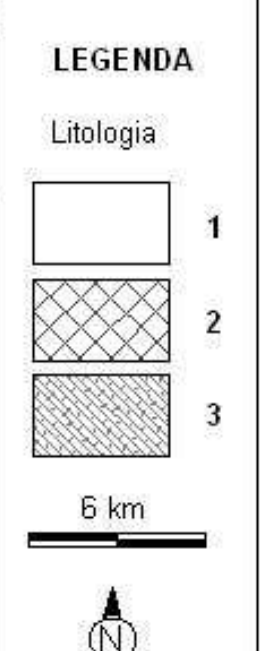


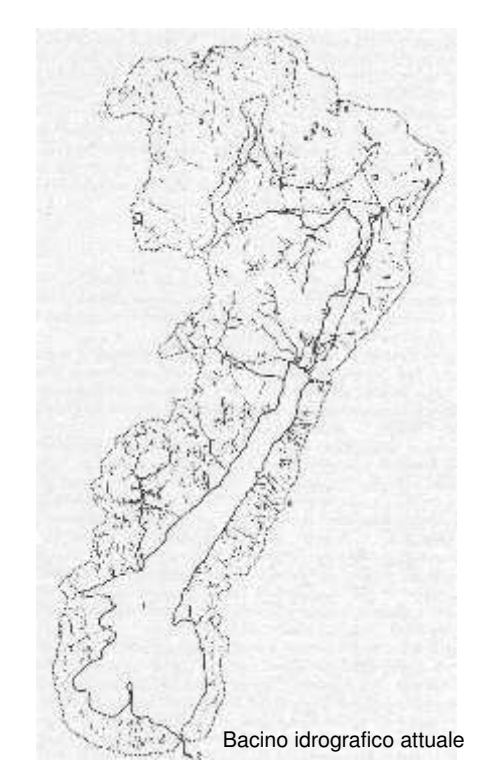


www.geologiaveronese.it

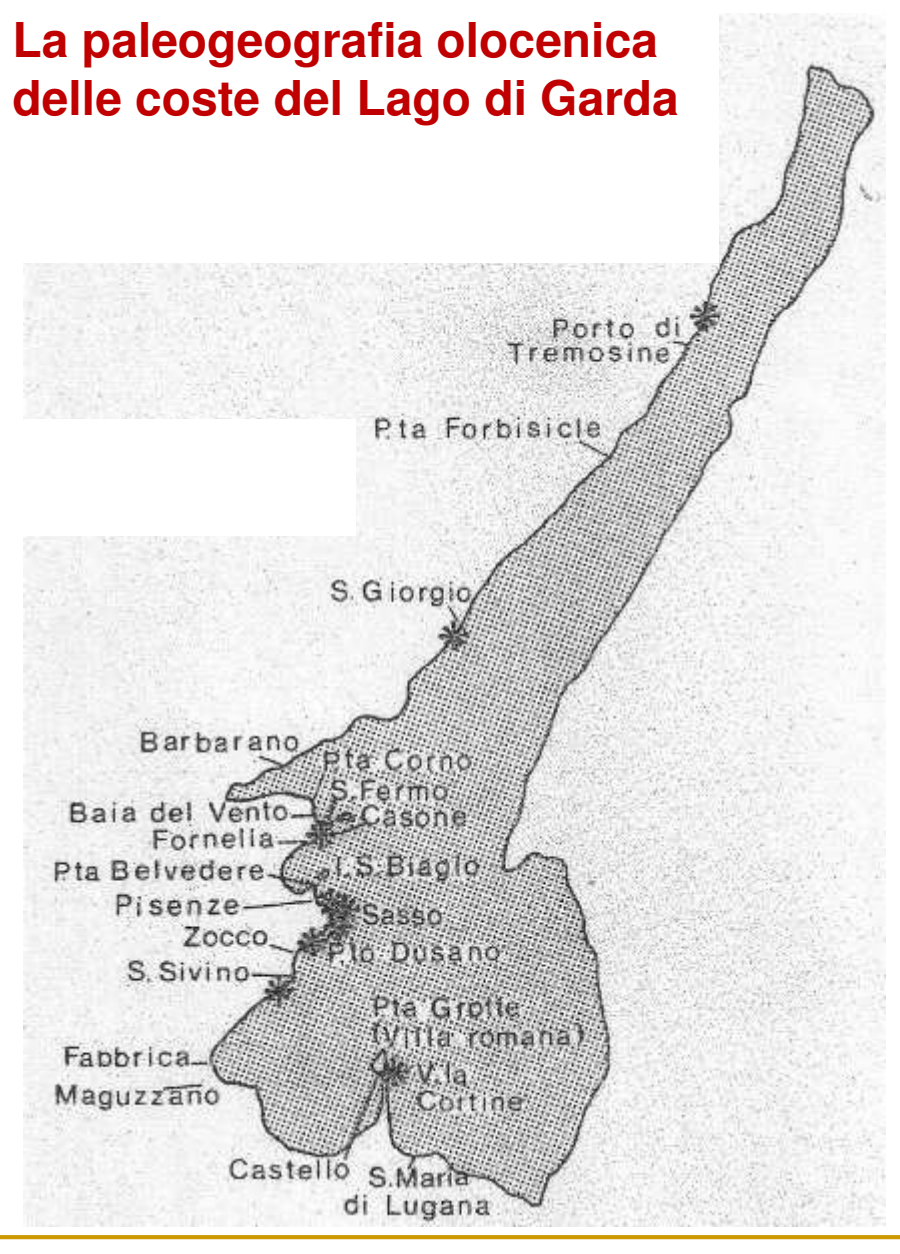


Il percorso fluviale antico (Messiniano) nell'area benacense del Lago di Garda





www.geologiaveronese.it



Il Lago di Garda ha un'origine glaciale ma il suo livello ha avuto diverse oscillazioni nel tempo:

- Bacino lacustre dell'interglaciale Riss-Wurm posto a 30 m sopra il livello attuale
- Manerba: Solchi di battente posti tra 23 e 60 m sopra il livello attuale
- Rive relitte sulla costa bresciana meridionale del lago sopraelevate da 3 a 5 m sul livello attuale
- Rive relitte nella porzione settentrionale del lago soprelevate da 4 a oltre 5 m sul livello attuale
- Punta Belvedere: linea di spiaggia del Neolitico (5.000 a BP) alta circa 4-5 m sopra il livello medio attuale (innalzamento di 0,8 mm/a)
- Nel Neolitico la <u>Penisola di Sirmione</u> (q. 70 m s.l.m.) doveva essere isolata
- Tendenza ad un abbassamento relativo della regione posta a SE della linea Sirmione-Garda

Baroni, 1985

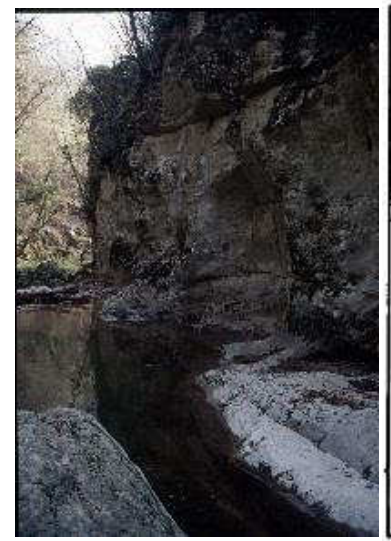
Fenomeni fluviali: settore orientale

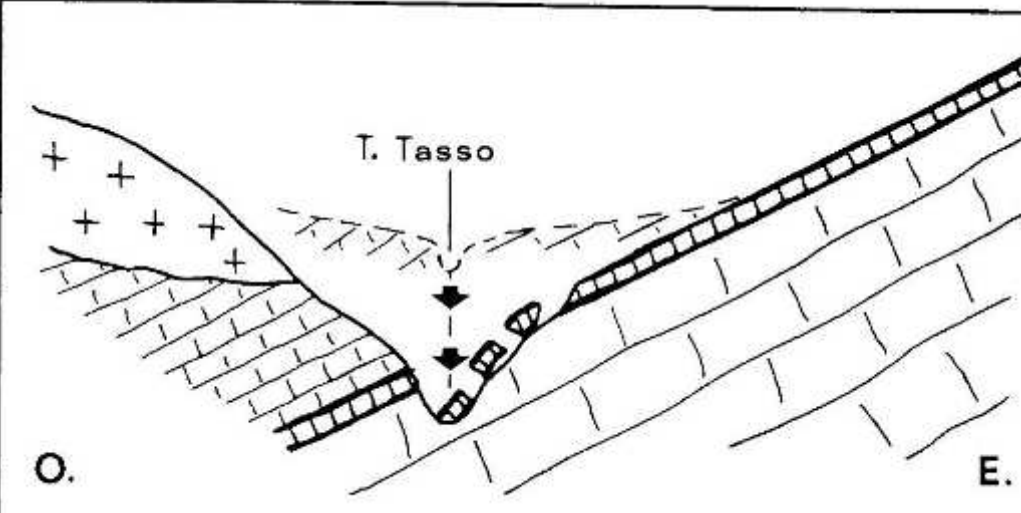
Vajo dell'Orsa: corso d'acqua d'erosone subglaciale su valle anaclinale (su rocce a reggipoggio)





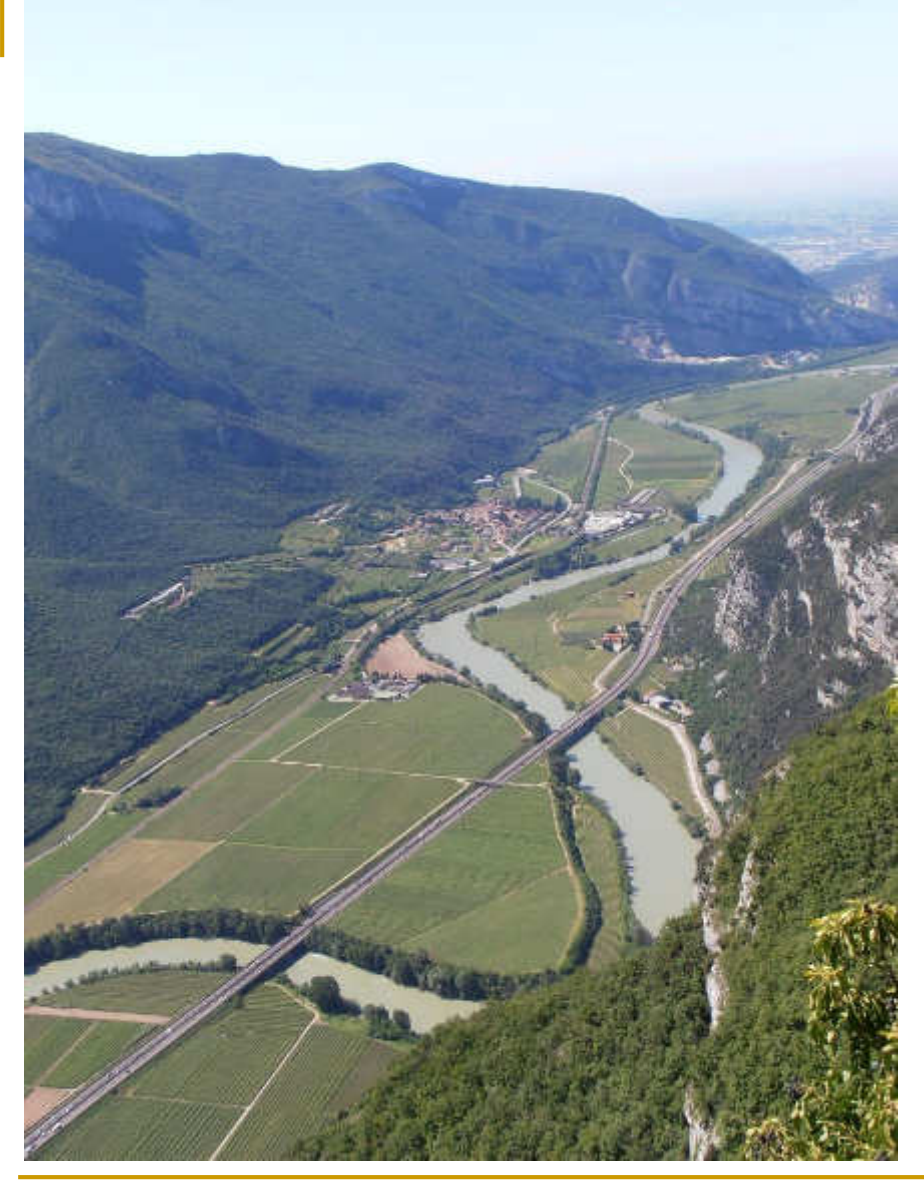
Valle del Tasso: fenomeno di sovrimposizione su valle monoclinale





www.geologiaveronese.it

Fenomeni fluviali: la Val d'Adige



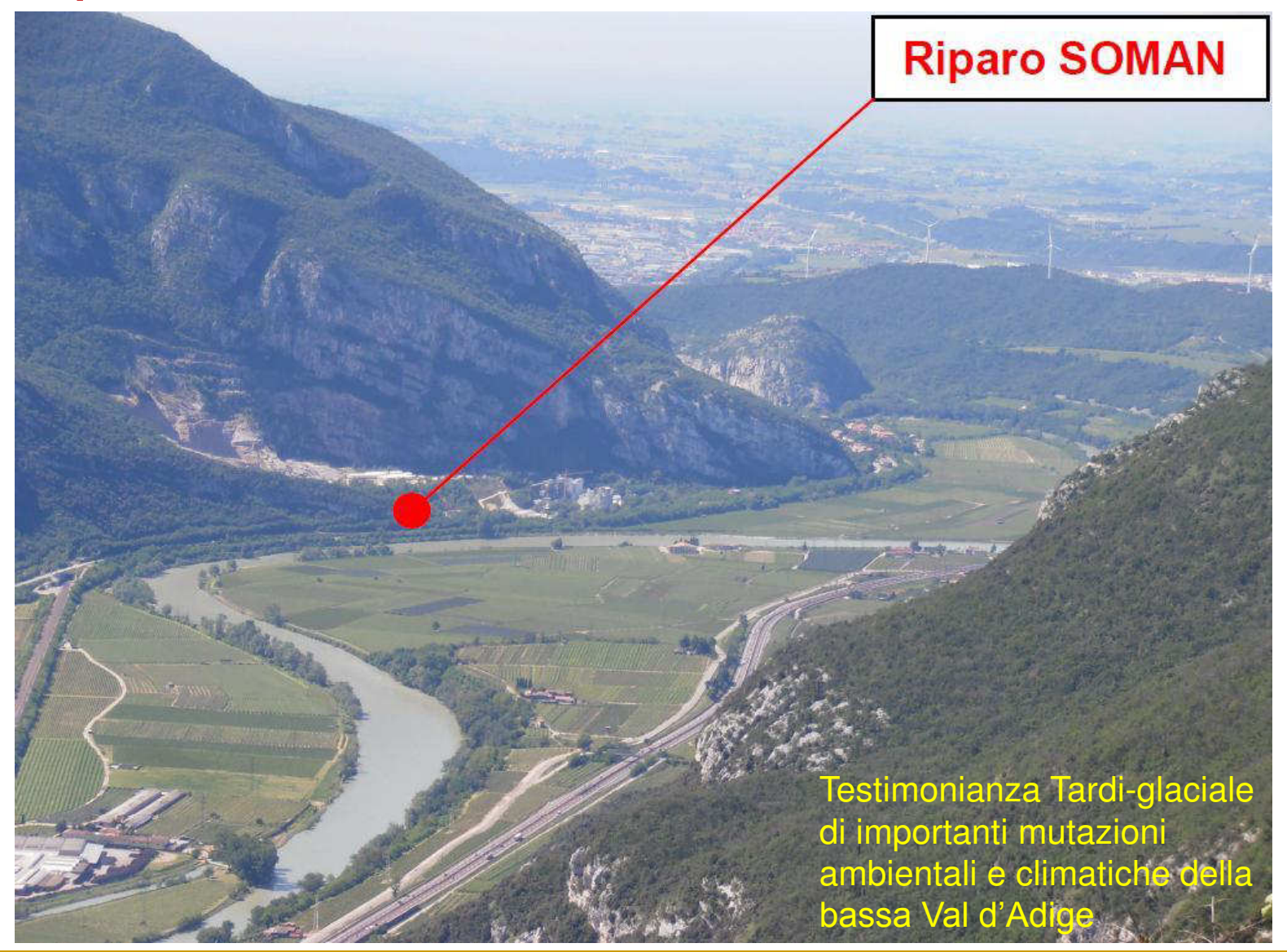


La chiusa di Ceraino: fenomeno di erosione subglaciale

La bassa Val d'Adige si è aperta definitivamente nell'interglaciale Mindel-Riss (circa 250.000 anni BP)

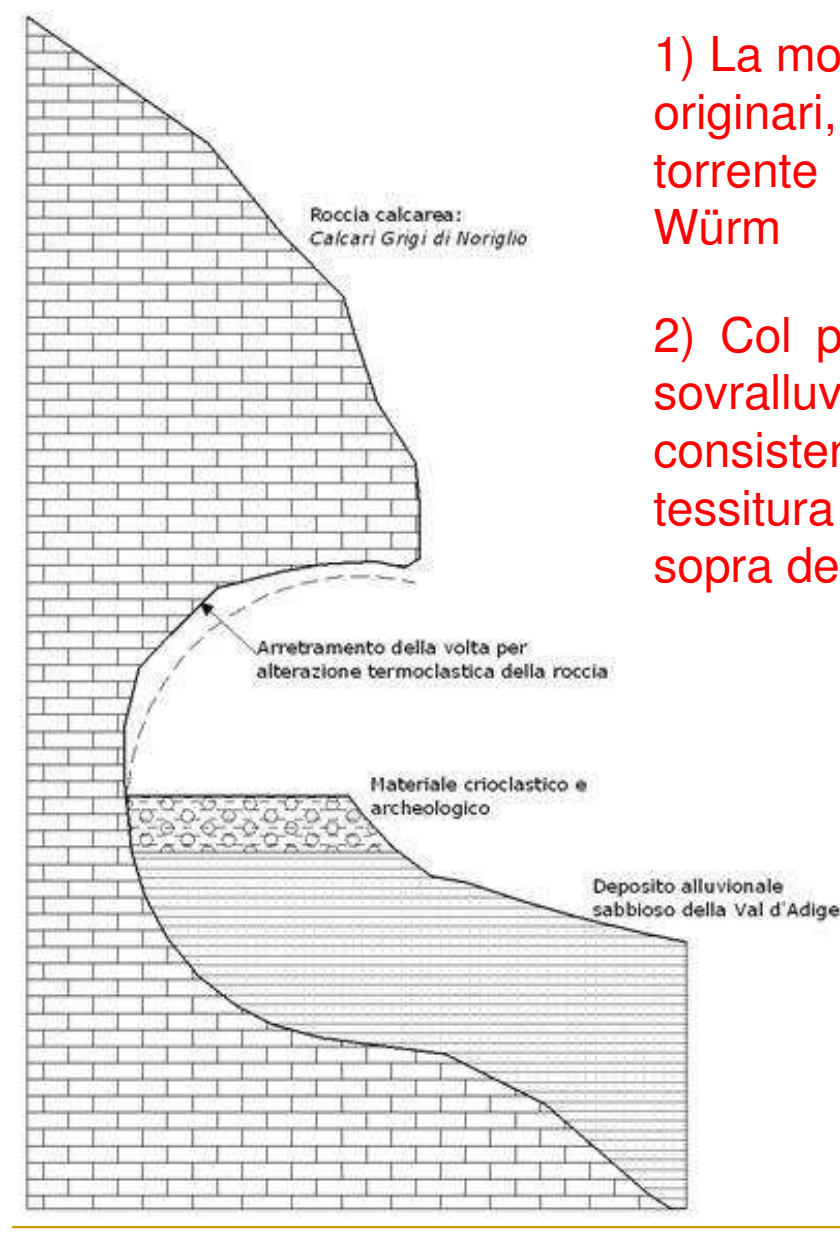
A partire dal 15.000 anni BP c'è stata la completa deglaciazione del territorio accompagnata, nel Tardo-glaciale, da un elevato tasso di sedimentazione fino a circa 0,22 m all'anno. Da tale processo si è creata la Val Lagarina.

Riparo Soman: un importante sito dell'epigravettiano europeo

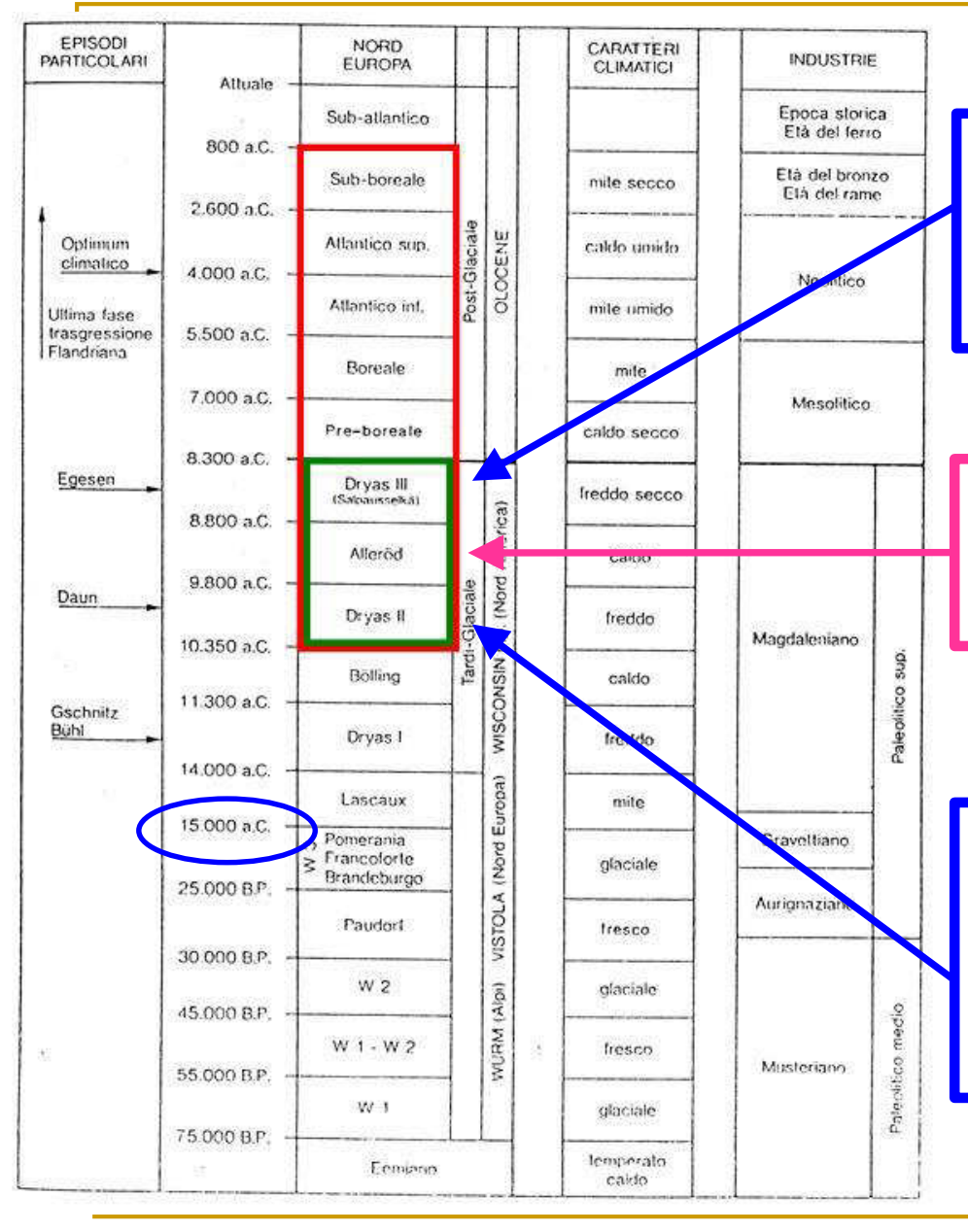




19



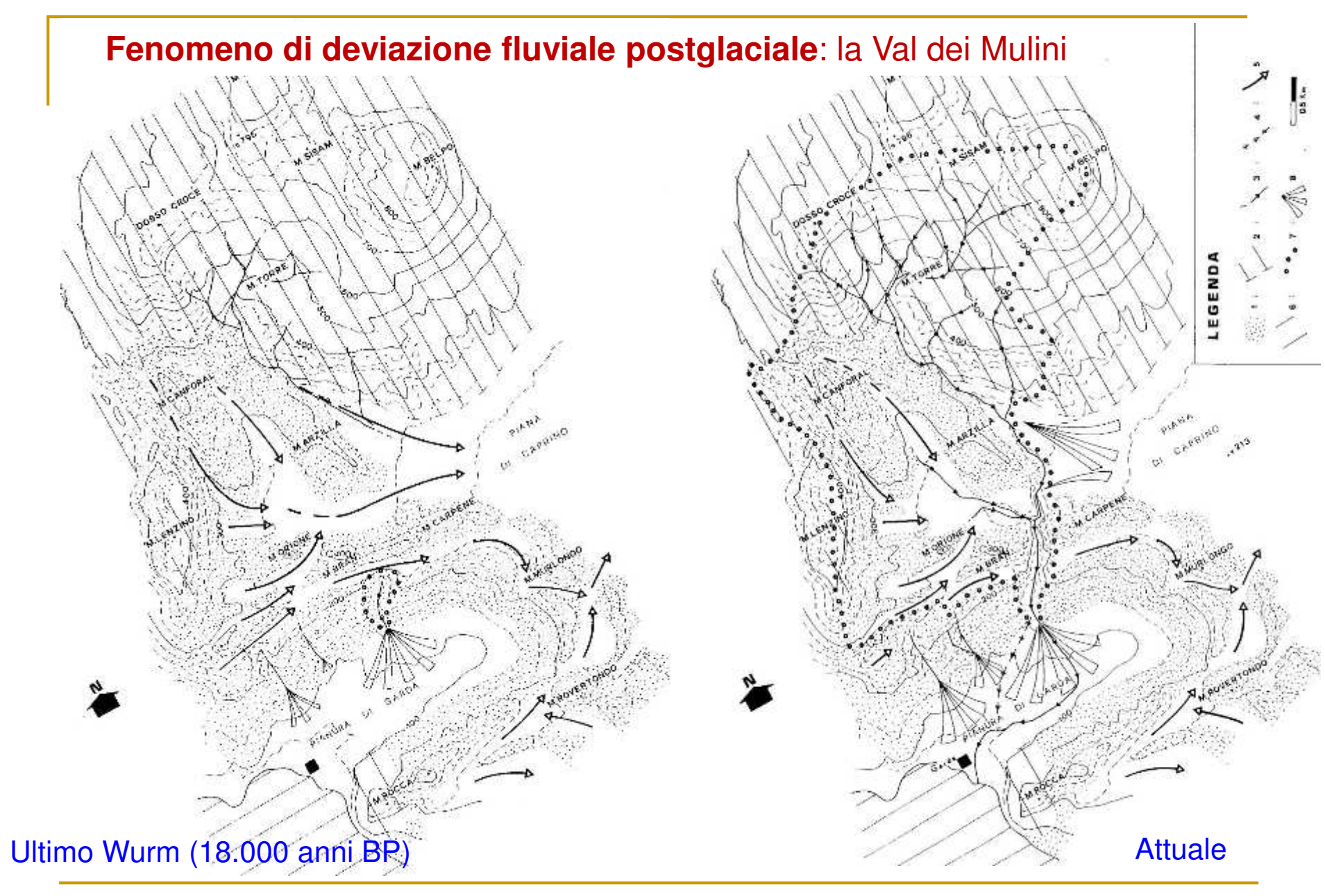
- 1) La morfologia parietale è riconducibile, nei suoi tratti originari, ad un'escavazione erosiva ad opera di un torrente sottoglaciale risalente alle fasi cataglaciali Würm
- 2) Col progredire del ritiro glaciale la valle è estata sovralluvionata, ovvero si verificò una rapida e consistente deposizione di sedimenti fluviali dalla tessitura sabbiosa fino oltre una decina di metri al di sopra del piano vallivo attuale.
 - 3) Il deposito più antico deriva dall'alterazione esogena della volta e più precisamente dai fenomeni crioclastici impostati sugli orizzonti diversamente permeabili della roccia in cui vi è circolazione d'acqua. L'età risale al Paleolitico superiore e alle condizioni periglaciali delle fasi climatiche del Drias medio e del Drias recente



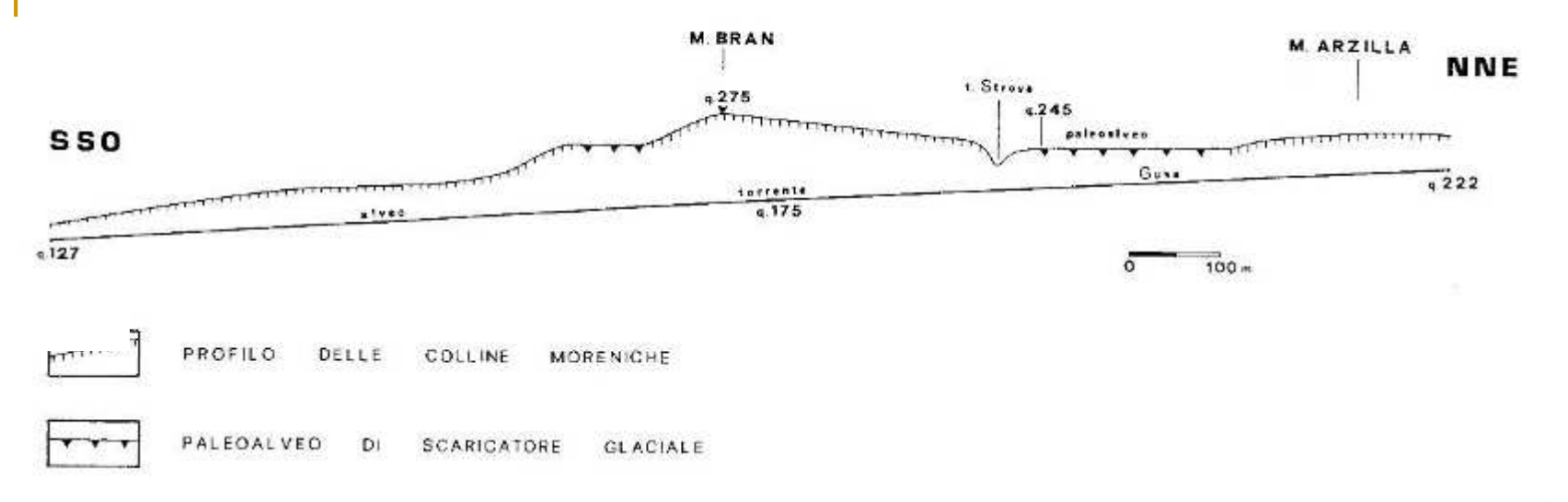
Drias III o Drias recente: lieve recrudescenza climatica verso condizioni periglaciali con scarse conseguenze macroscopiche nella fascia prealpina

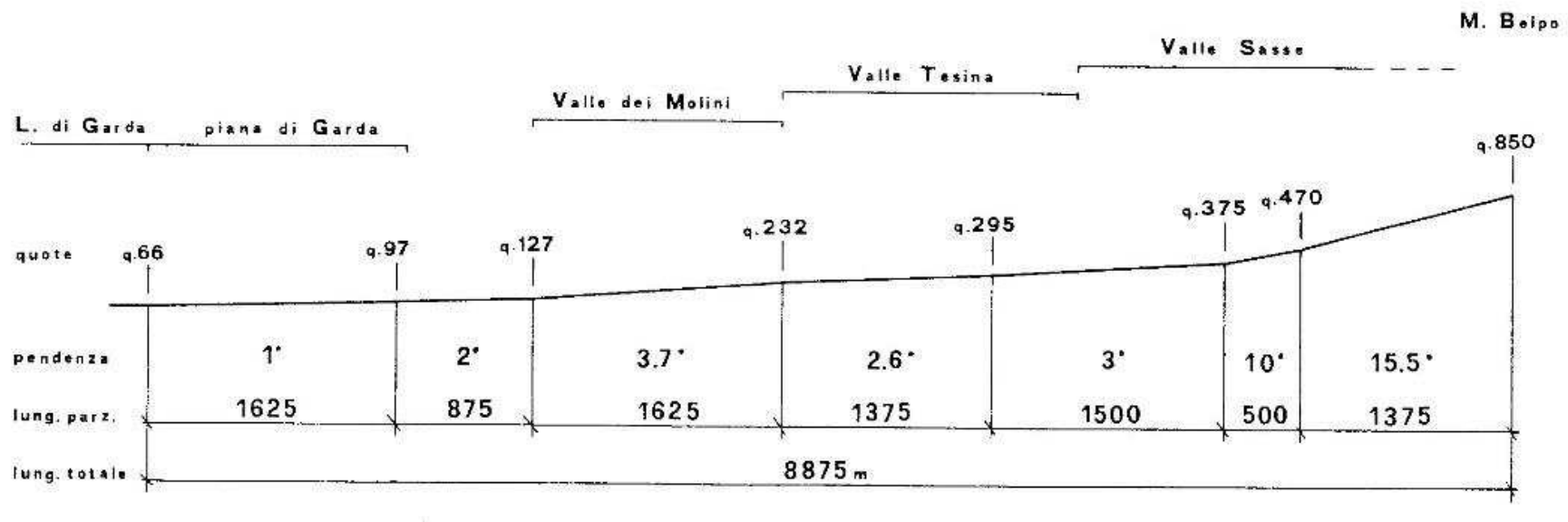
Allerod: interstadio di clima mite senza testimonianza stratigrafica nel sito archeologico

Drias II o Drias medio: recrudescenza climatica verso condizioni periglaciali. Riduzione degli ambienti boschivi a favore delle praterie. Avanzata degli animali da steppa (stambecco, camoscio, cervo, ecc.)



Sezioni longitudinali della valle





Paleoidrografia del Monte Baldo

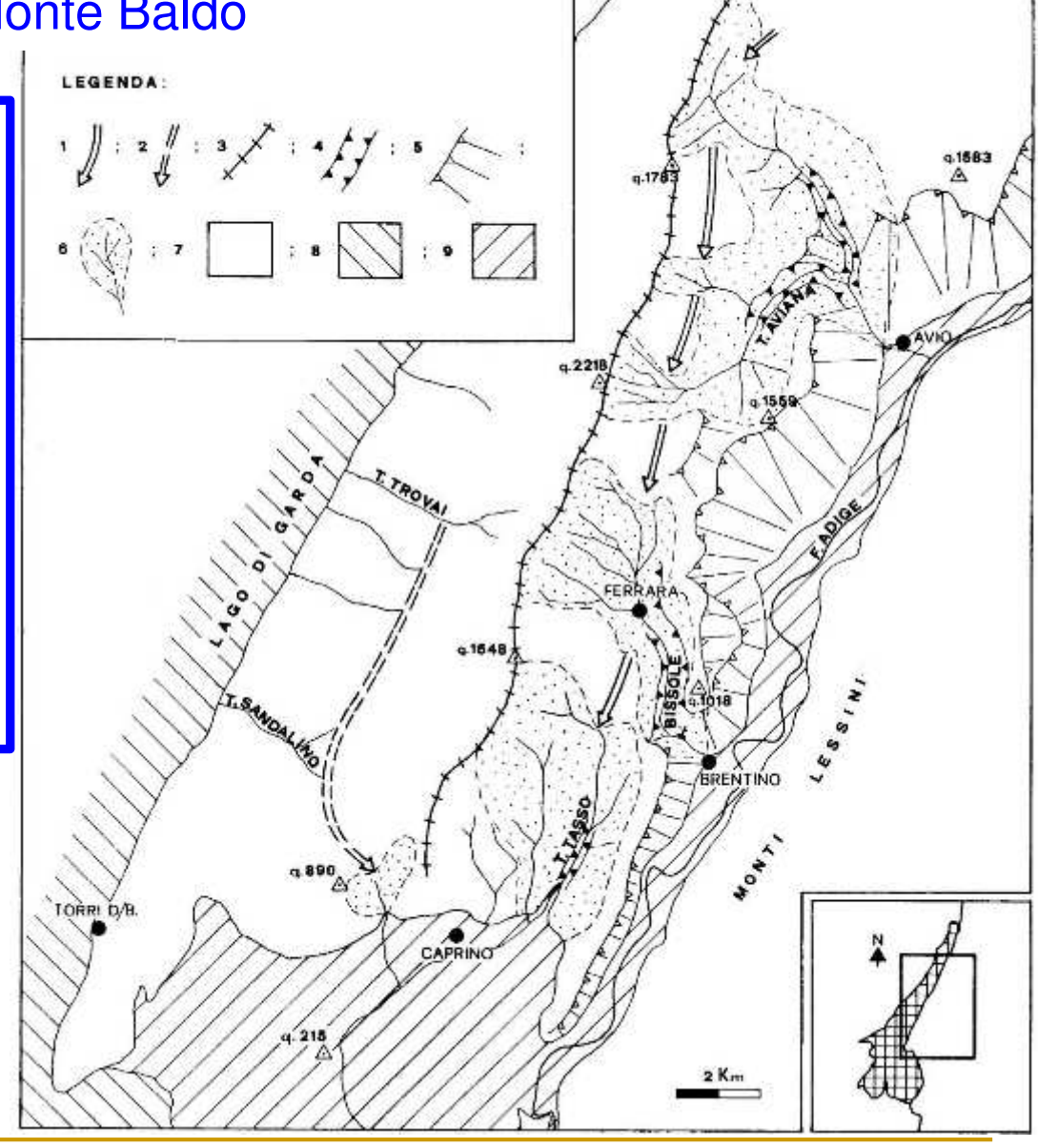
Rami relitti di un antico sistema vallivo, sospeso tra 400 e 1000 m sulla pianura, mascherato da accumuli di frana e dal detrito di versante

Si tratta di:

corsi d'acqua monoclinali o sinclinali del versante orientale del Monte Baldo. Sistema attualmente disarticolato da fenomeni di cattura fluviale da parte di valli anaclinali dirette verso la Val d'Adige

Paleovalle incarsita che collega Lumini con Prada Alta oggi sospesa sulla pianura di Caprino di circa 400 m





www.geologiaveronese.it

Il fenomeno carsico: processo di dissoluzione e di precipitazione chimica impostato su rocce carbonatiche ed evaporitiche

$$CO_2 + H_2O + CaCO_3 \longrightarrow Ca(HCO_3)_2$$

Parametri chimico-fisici che condizionano la reazione:

- acidità della soluzione (pH)
- durezza (1° F = 10 mg/l di CaCo₃)
- anidride carbonica disciolta in termini di pressione parziale
- temperatura
- quantità di magnesio (derivato dalle rocce dolomitiche)

Fenomeno carsico: elementi che concorrono alla formazione di una soluzione aggressiva da cui dipendono i processi di dissoluzione

- all'aumentare della CO₂ e di altri acidi corrosivi
- all'aumentare della temperatura
- all'aumentare della pressione parziale di CO₂
- al dimunuire del pH
- presenza anche di piccole quantità di magnesio
- miscela di acque con concentrazioni diverse

Valutazione dell'erosione carsica (Dm)

Formula di Pulina, 1974

Dm = $0.0126 \cdot \Delta C \cdot q \cdot \epsilon$

- ∆C = differenza di mineralizzazione tra le acque sorgive (che abbandonano) e quelle di precipitazione (entranti)
- q = quantità media d'acqua in litri al secondo che entra in un km² di superficie
- ε = coefficiente correttivo che dipende dalla densità della roccia e dalla percentuale di rocce carbonatiche - vale circa 1

Metodo idrogeologico

Dm (kg) = °F • 10 Qa

°F = durezza in °F (1 °F = 10 mg/l di carbonati di calcio e magnesio)

Qa = portata totale annua (I/a)

A = afflusso meteorico cumulativo annuo

P = infiltrazione efficace (A - Et - Rit - Rus)

S = superficie del bacino della sorgente

Valida per tutti i parametri chimici:

Nitrati, Cloruri, Solfati, ecc.

Valutazione dell'erosione carsica

Sorgenti:

Bergola, Fontana Santa, Sorzo, Casette

totale di 90 l/s medi

Monte Baldo Meridionale:

90 - 130 ton / kmq / anno

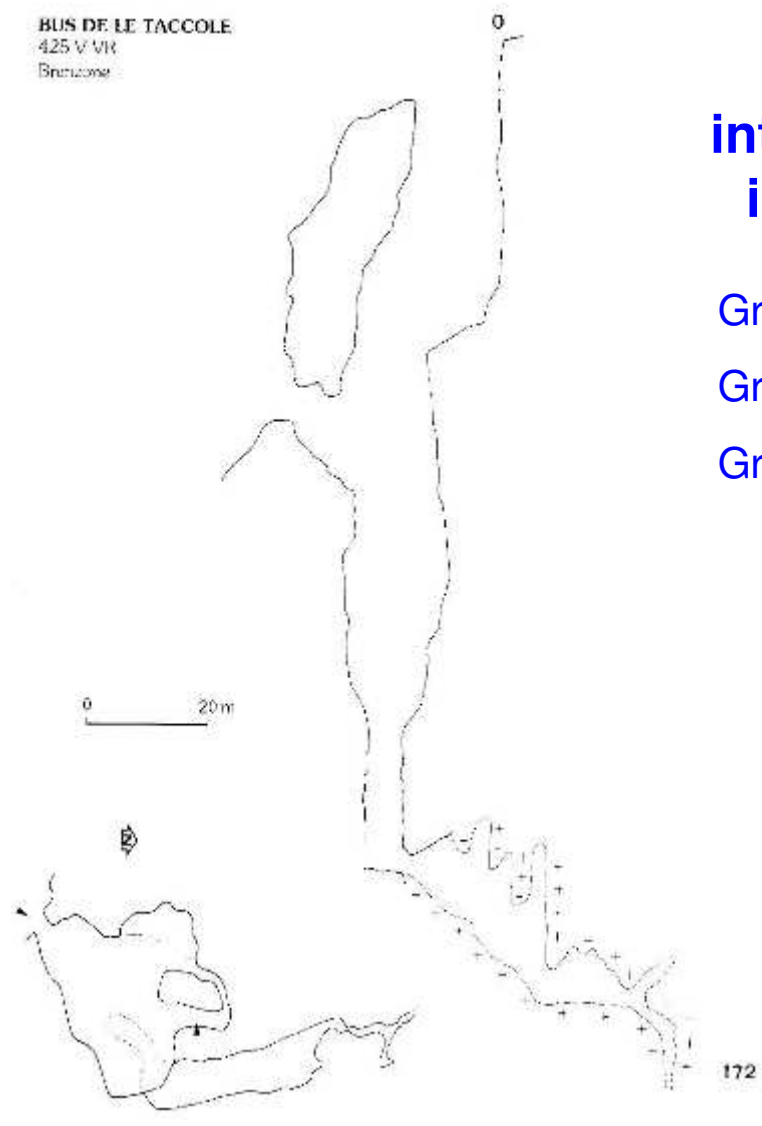
36 – 52 mc / kmq / anno

36 – 52 mm / kmq / anno





Analisi statistica delle cavità carsiche aggiornata all'anno 1987



Il carsismo ipogeo: un'erosione interna del rilievo con scarsa evidenza in superficie, se non in limitate aree

Grotte con andamento verticale (> 70%): 36

Grotte con andamento orizzontale (> 70%): 29

Grotte con andamento misto: 6

IN RIFERIMENTO ALLA LITOLOGIA:

Calcari Grigi di Noriglio: n. 33 (47%)

Calcari Oolitici di S. Vigilio: n. 23 (32%)

Calcari eocenici: n. 7 (10%)

Rosso Ammonitico V.se: n. 5 (7%)

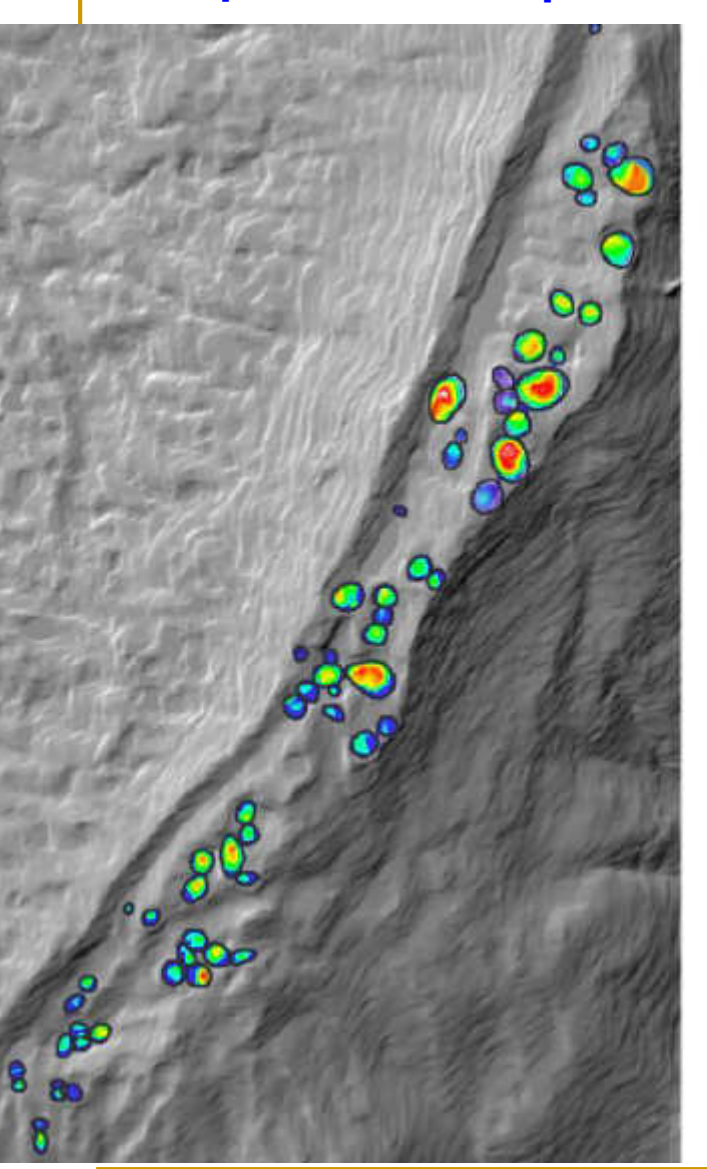
Biancone: n. 2 (3%)

Calcari miocenici: n. 1 (1%)

Rossi et al., 1992

L'altopiano carsico più esteso: Naole – Dosso dei Cavalli - Monteselli

proof (m)



Centinaia di doline, fino a varie decine per chilometro quadrato:

doline a ciotola, ad imbuto, a fondo piatto, con ripiani interni, doline aperte



www.geologiaveronese.it

Relatore: Geol. Enrico Castellaccio

È un paesaggio unico dell'intera catena alpina per la ricostruzione climatica del Quaternario che esprime una sorprendente vitalità del rilievo carsico nonostante le ripetute aggressioni da parte di processi periglaciali intensi.

- Fasi morfogenetiche di dissoluzione carsica durante i climi temperato-caldo degli interglaciali, con la formazione di dossi a cupola (Colonei di Pesina).
- Smantellamento criclastico del rilievo (brecce e loess) durante le fasi glaciali.





www.geologiaveronese.it

Relatore: Geol. Enrico Castellaccio

Fenomeni carsici di superficie: geositi di importanza nazionale.

Il sito di Canale: un raro paesaggio glaciocarsico di tipo submediterraneo







www.geologiaveronese.it

Relatore: Geol. Enrico Castellaccio

Il sito di Canale





Il sito microcarsico di Rocca di Rivoli

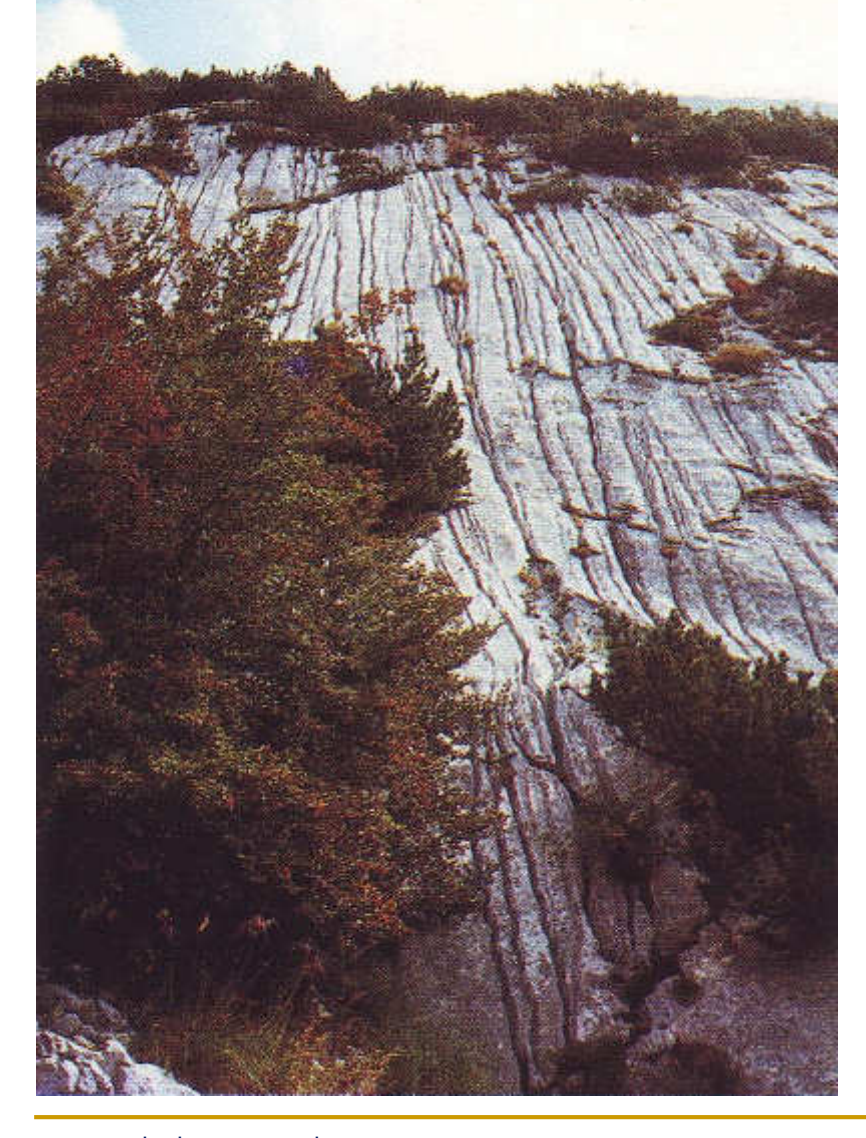


Vaschette ed alveoli di corrosione, talora con emissari rettilinei e a meandri



www.geologiaveronese.it

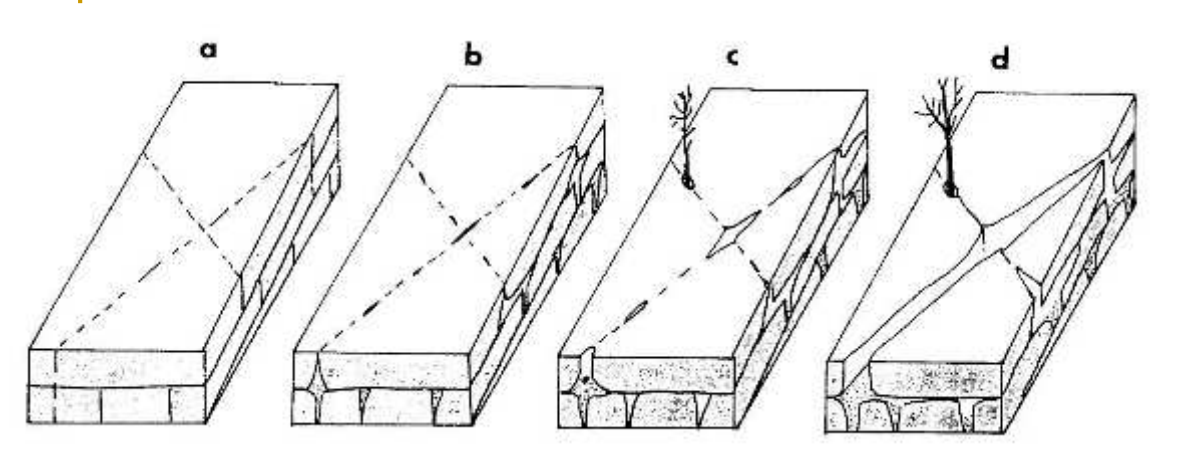
Solchi a doccia rettilinea o a *Rivoli carsici* a Prada sulle superfici strutturali di una delle *pale*





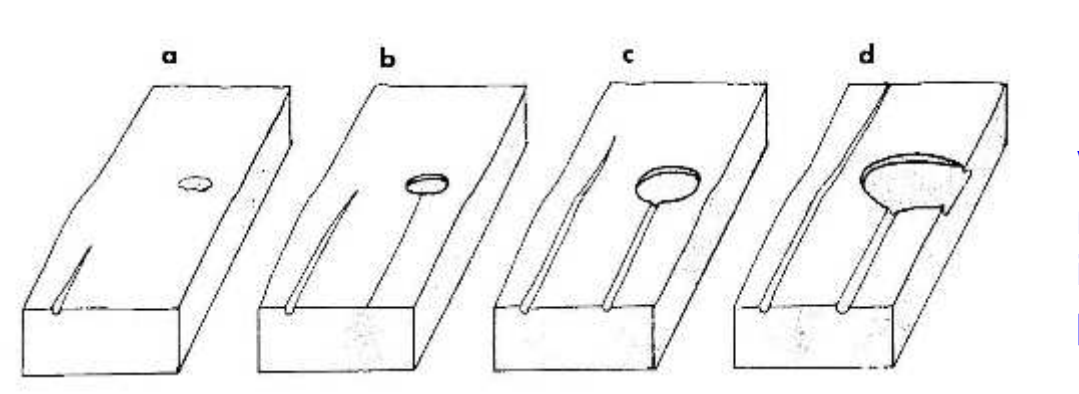
Vaschette di corrosione e solchi carsici a Ceraino

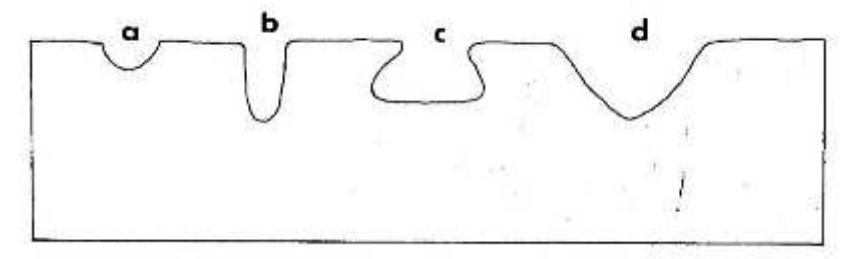
Ricostruzione genetica di alcuni processi carsici



Fori e crepacci carsici: partendo da un giunto di strato la corrosione inizia dal basso verso l'alto per capillarità

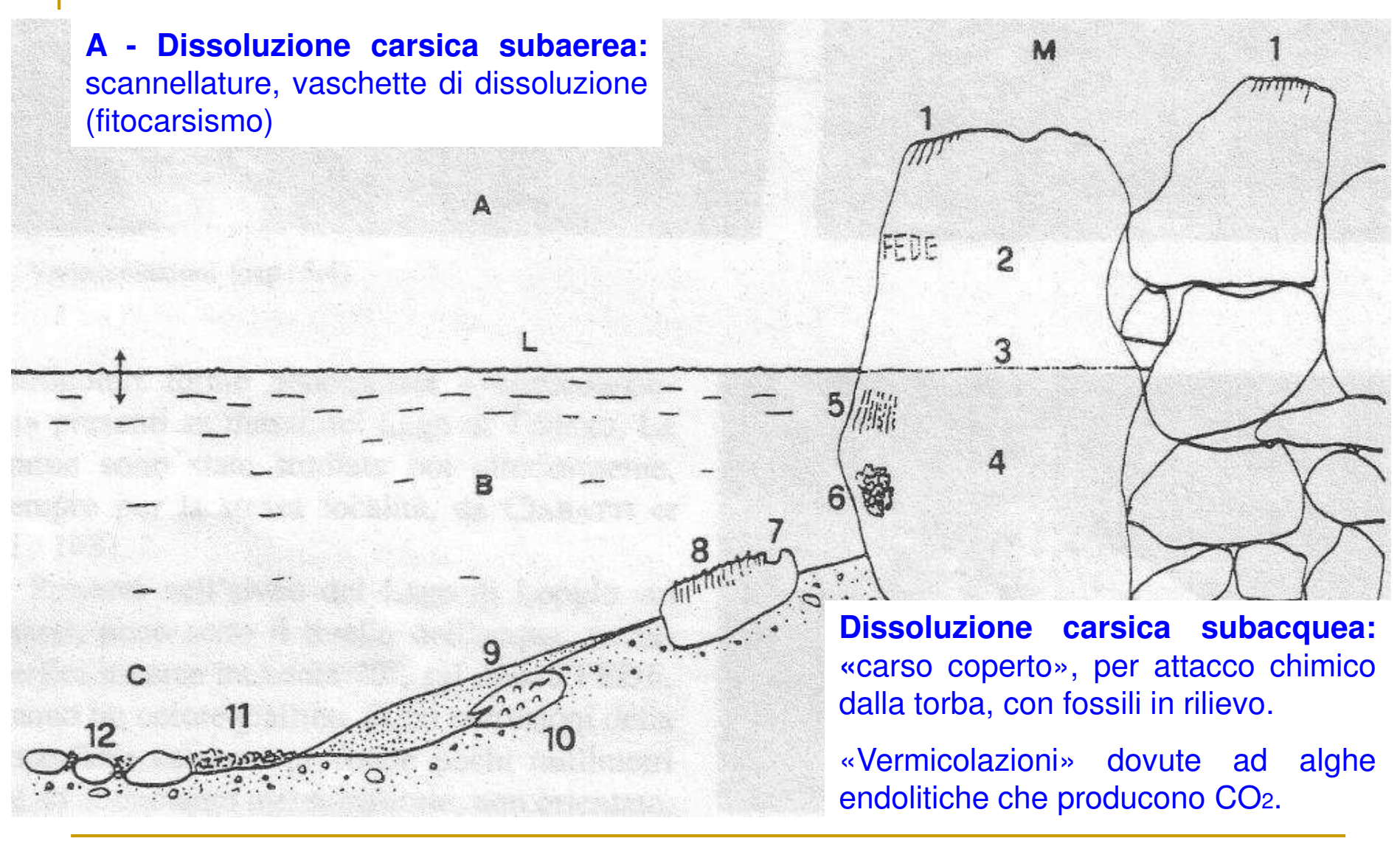
Solchi carsici: a doccia, a gola, a doccia sottoescavata, a doccia svasata





Vaschetta di corrosione: inizia da un ristagno d'acqua nel quale si insediano alghe endolitiche che producono un attacco fitocarsico

Carsismo subacqueo e subaereo al Lago di Loppio



Grazie per l'attenzione



Enrico Castellaccio www.geologiaveronese.it www.geotermiaveronese.it